

京大工・善茂発
岩瀬正則
一瀬英爾

1 緒言 溶銑予備脱鋼あるいは含クロム溶銑、ステンレス粗溶鋼の脱鋼にはアルカリ土類金属の酸化物とハロゲン化物を含有するフラックスが使用される事が多い。ところがこれらのフラックスの熱力学的性質は現在までのところほとんど不明である。そこで本研究では $\text{BaO}-\text{BaCl}_2-\text{FeO}$ 系および $\text{SrO}-\text{SrCl}_2-\text{FeO}$ 系フラックス中の FeO の活量を測定し、併せてこれらのフラックス系の状態図を作成したので報告する。また FeO の活量の温度依存性についても検討した。

2 実験方法

実験方法としてジルコニア固体電解質と $\text{Mo} + \text{MoO}_3$ 基準極を用いた固体ガルバニ電池法を採用した。すなわち Ar 雰囲気中、純鉄ルツボ内に純銀 30-35g とフラックス 20-25 g を溶解し、純鉄とスラグ中の FeO との平衡酸素分圧をジルコニア固体電池によって測定した。平衡酸素分圧はジルコニアの電子電導を補正した式によって計算した。実験温度は 1200°C および 1350°C である。

3 実験結果

3.1 FeO の活量: Fig.1 に $\text{SrO}-\text{SrCl}_2-\text{FeO}$ 系フラックス中の FeO の活量を示す。 FeO の活量はアルカリ土類金属の酸化物/塩化物比に大きく依存し、この比が大きくなるほど FeO の活量は低下する。これは $\text{CaO}-\text{CaCl}_2-\text{FeO}$, $\text{SrO}-\text{SrCl}_2-\text{FeO}$, $\text{BaO}-\text{BaCl}_2-\text{FeO}$ 系に共通した傾向である。

3.2 アルカリ土類酸化物-塩化物-酸化鉄系の状態図: Fig.2 に $\text{SrO}-\text{SrCl}_2-\text{FeO}$ 系の 1350°C における等温断面図を示す。

3.3 FeO 活量の温度依存性: シリケート系スラグ中の FeO 活量の温度依存性については正則液体モデルから得られる式でよく表わされる事が知られている。 $R T_1 \ln \gamma (\text{at } T_1) = R T_2 \ln \gamma (\text{at } T_2) \dots \dots (1)$ ハロゲン化物を含有するフラックス中で正則液体モデルが使用出来るか否かは未だ不明であるが、同じ形の式で FeO 活量の温度依存性を表わす事が出来れば非常に便利である。1200°Cにおける FeO の活量の実測値を元に(1)式を用いて 1350°C における FeO 活量を計算し、これを 1350°C における実測値と比較して、Fig.3 に示した。実測値と計算値は満足すべき一致を示している。ただしハロゲン化物を含有する系に正則液体モデルが適用出来るかどうかについては検討の余地を残している。

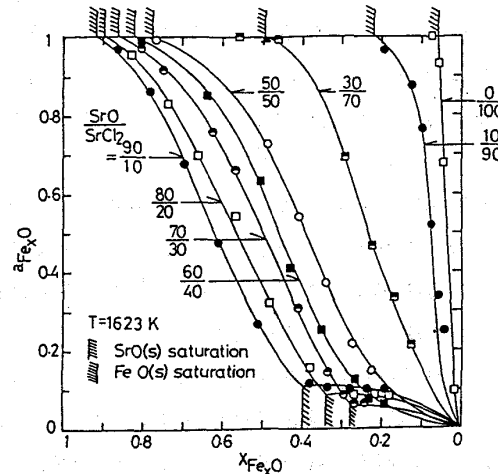


Fig.1
Activities of Fe_xO
in $\text{SrO}-\text{SrCl}_2-\text{FeO}$
fluxes at 1623 K.

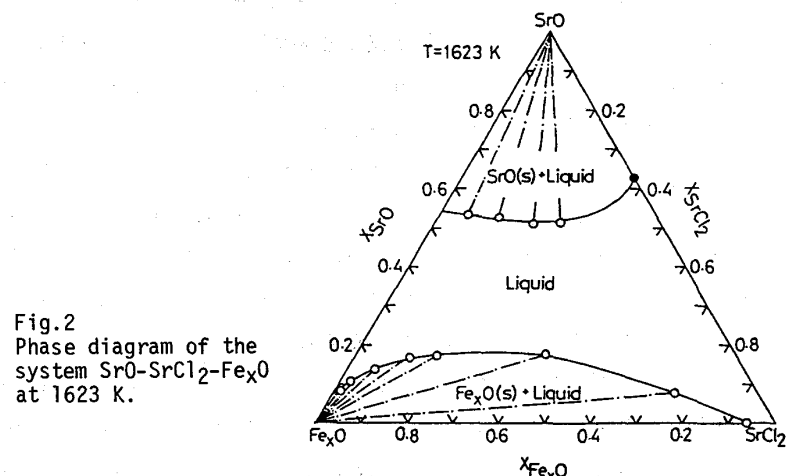


Fig.2
Phase diagram of the
system $\text{SrO}-\text{SrCl}_2-\text{FeO}$
at 1623 K.

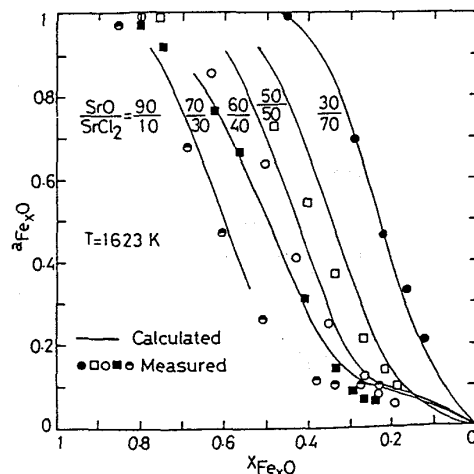


Fig.3
Comparison of the
 Fe_xO activities
measured at 1623 K
with those calculated
by virtue of eq.(1).